

# Simulazione delle collisioni di particelle elementari

DIFA UniBo - Laboratorio di Elettromagnetismo e Ottica - Modulo 3

Simone Pasquini

28 dicembre 2022

# Indice

<b>1</b>	<b>Introduzione</b>	<b>3</b>
<b>2</b>	<b>Struttura del codice</b>	<b>3</b>
<b>3</b>	<b>Generazione</b>	<b>5</b>
<b>4</b>	<b>Analisi</b>	<b>6</b>
4.1	Grafici suppletivi . . . . .	12
<b>5</b>	<b>Appendice</b>	<b>13</b>

# 1 Introduzione

Tale programma ha lo scopo di simulare e analizzare collisioni tra particelle elementari. Il progetto è implementato seguendo le principali *coding conventions* del linguaggio C++, con particolare attenzione rivolta al modello della programmazione a oggetti, che include sia il polimorfismo dinamico sia l'ereditarietà virtuale.

**ROOT** è il framework di supporto utilizzato per la gestione dei dati raccolti; tale software, scritto in linguaggio C++, consente di gestire molteplici tecniche di *generazione Monte Carlo* e metodi di analisi dati. In questo caso, si è preferito l'uso della modalità compilata di ROOT (e non interpretata), per garantire maggiore efficienza e miglior controllo del codice prodotto.

Le funzionalità suddette di ROOT, dunque, consentono di intuire il principale obiettivo del progetto: generare eventi di collisione tra particelle secondo proporzioni ben definite e verificare la correttezza complessiva della simulazione.

Dalla generazione di eventi, si può estrarre un segnale particolarmente interessante emesso da una particella instabile, chiamata **K\***, descritta più dettagliatamente nel seguito; pertanto, il fine ultimo dell'analisi, è l'estrazione e lo studio di suddetto segnale, grazie al quale si possono misurare sia la **massa invariante** di K\* stessa, sia la sua **larghezza di risonanza**.

I tipi di particelle scelti per la simulazione sono **pioni** ( $\pi^+$ ,  $\pi^-$ ), **kaoni** ( $K^+$ ,  $K^-$ ), **protoni** ( $p^+$ ,  $p^-$ ) - sono coppie di particelle e rispettive antiparticelle, di segno opposto - e la particella di risonanza **K\***<sup>1</sup>.

Mentre i primi tre tipi sono stabili, il quarto è instabile e decade in modo equiprobabile in due prodotti di decadimento:  $\tau^+K^-$  e  $\tau^-K^+$ . Dai prodotti finali di decadimento  $\tau K$  è possibile ricostruire la massa invariante di K\*, ossia la sua massa a riposo.

Naturalmente, la simulazione tiene conto della conservazione relativistica dell'energia, come verrà esposto successivamente.

## 2 Struttura del codice

Il programma è suddiviso in vari header file e file di implementazione, sia per gestire al meglio i blocchi di base necessari per il corretto funzionamento della simulazione, sia per garantire modularità nello sviluppo di codice. Nello specifico, il programma è ripartito nelle seguenti classi:

- **particleType:** definisce come attributi privati le tre proprietà di base delle particelle simulate: nome, massa e carica; queste ultime sono immutabili, infatti sono dichiarate `const`, così come tutti gli attributi che non variano durante l'esecuzione del programma.

Nella parte pubblica, vi sono i metodi che servono a ottenere o stampare a schermo le proprietà suddette, come il metodo `Print()`, e naturalmente un costruttore parametrico.

Da notare è l'uso della keyword `virtual`, che permette alla funzione dichiarata in

---

<sup>1</sup>La risonanza individua un picco caratteristico delle particelle instabili, come la K\*, descritto dalla larghezza di risonanza  $\Gamma$ , legata alla vita media  $\tau$  della particella tramite la relazione:  $\Gamma = \frac{\hbar}{2\pi\tau}$ , ove  $\hbar = 6.626 \cdot 10^{-34}$  Js è la costante di Planck.

tal modo di essere ridefinita in eventuali classi derivate, e fa sì che vi sia un forte legame dinamico tra funzione e oggetto che la invoca; ciò è proprio alla base del *polimorfismo al runtime*.

- **resonanceType:** definisce le stesse proprietà di `particleType`, con l'aggiunta della "Width" (la larghezza di risonanza tipica delle particelle instabili). Visto che `resonanceType` è un tipo "specializzato" di `particleType` secondo una relazione "*is a*"<sup>2</sup>, la prima è implementata come classe derivata della seconda seguendo il principio di reimpiego del codice per ereditarietà: quest'ultimo permette di risparmiare la scrittura di codice aggiuntivo, visto che la "classe figlia" è in grado di importare le funzioni membro pubbliche senza la necessità di scriverne di nuove (eventualmente si possono ridefinire, come avviene in questo caso). Come anticipato, i metodi di `resonanceType` sono tutti ridefiniti a partire da quelli implementati nella classe base, per mezzo della keyword `override`.

- **particle:** descrive le proprietà di base sopra elencate e le caratteristiche cinematiche delle particelle, infatti tra gli attributi vi sono le tre componenti cartesiane di un impulso (le collisioni avvengono in uno spazio tridimensionale).

Dato che nella simulazione è elevato il numero delle particelle con cui si lavora, ma il numero dei tipi è limitato, si è scelto di implementare `particle` reimpiegando il codice per composizione e non per ereditarietà, come avvenuto per le classi sopra descritte: ciò è più vantaggioso soprattutto in termini di memoria, in quanto se si utilizzasse l'ereditarietà le proprietà di base delle particelle si ripeterebbero per ogni oggetto particella creato e, visto che ne devono essere generate molte, ciò non è decisamente conveniente.

Pertanto, `particle` al suo interno include un array (della *STD library*, per avere maggiore sicurezza nella gestione delle risorse di memoria) di puntatori<sup>3</sup> a oggetti `ParticleType` (o `ParticleType`), implementato come membro privato statico, chiamato `fParticleType`, grazie al quale si fa corrispondere a ogni tipo di particella una posizione all'interno dell'array<sup>4</sup>.

Nella classe `particle` vi sono metodi che permettono di aggiungere, stampare o manipolare i tipi di particelle con i rispettivi dati. Alcuni di questi sono privati, come `FindParticle`, indispensabile per l'implementazione di tutte le funzioni membro che forniscono o modificano le caratteristiche dei tipi di particelle riconducendosi all'array statico. Da notare è il metodo statico `AddParticleType`, che permette di aggiungere sequenzialmente dei tipi di particella all'array suddetto, attraverso l'allocazione dinamica di memoria sullo *heap*.

I metodi `Decay2Body` e `Boost` gestiscono rispettivamente il decadimento della particella madre  $K^*$  nelle figlie pione e kaone, e garantiscono una corretta applicazione delle trasformazioni di Lorentz nel sistema di riferimento in cui ogni particella è ferma (tenendo conto del contributo relativistico degli eventi).

Gli altri metodi di `particle` permettono di manipolare vari dati, tra cui le componenti della quantità di moto delle particelle; da notare sono sia i "*Setters*" (come l'overload del metodo `SetIndex` che permette di scegliere l'indice di `fParti-`

---

<sup>2</sup>In altre parole, `resonanceType` è un `particleType` senza l'attributo `Width`.

<sup>3</sup>Per rendere più efficienti l'ereditarietà virtuale e il polimorfismo al runtime si è lavorato con puntatori e non con istanze.

<sup>4</sup>In sostanza, `fParticleType` funge da "tabella dei tipi di particelle", con cui si fa corrispondere a un indice dell'array uno dei 7 tipi generati.

`cleType` una volta che gli si passa il nome di una particella o la posizione della stessa all'interno del medesimo array statico) sia i *"Getters"*, utili a ottenere dati importanti, come l'energia totale (attraverso `GetEnergy`) o la massa invariante tra due particelle che decadono (per mezzo di `GetInvMass`).

- **test.cpp:** definisce i test sviluppati secondo il modello *unit testing* di DOCTEST. Questa è una parte essenziale del programma, in quanto permette di verificare sia se le funzioni sviluppate svolgono correttamente il loro compito, sia se vi sono problemi nella gestione della memoria<sup>5</sup>, una possibilità non remota vista la presenza di puntatori a oggetti.

### 3 Generazione

La generazione Monte Carlo delle variabili della simulazione avviene attraverso la classe *TRandom* di ROOT, che consente di estrarre singolarmente variabili secondo delle distribuzioni predefinite (uniforme, gaussiana, esponenziale, etc.). Durante il corso della generazione, tramite il metodo `Fill` di ROOT, un array di supporto e due cicli `for` annidati, tutte le variabili generate vengono inserite in vari istogrammi, salvati in un *ROOT File* che consentirà l'analisi dei dati in un momento successivo.

La generazione avviene all'interno del file **simulation.cpp**. Si è scelto di simulare 10<sup>5</sup> eventi, in ciascuno dei quali si generano casualmente 100 particelle secondo proporzioni ben definite: sul totale di 10<sup>7</sup> particelle generate,  $\pi^+$  e  $\pi^-$  corrispondono all'80%,  $K^+$  e  $K^-$  al 10%,  $p^+$  e  $p^-$  al 9% e la  $K^*$ , l'unica particella instabile, al rimanente 1%.

Per ogni particella, si generano le direzioni dell'angolo azimutale  $\theta$  e polare  $\varphi$  attraverso due distribuzioni uniformi (affinché vi sia omogeneità e isotropia nella direzione del moto delle particelle<sup>6</sup>) con dominio rispettivamente  $[0, 2\pi]$  e  $[0, \pi]$ .

Il modulo dell'impulso tridimensionale di ciascuna particella è generato da una distribuzione esponenziale di media 1; dato che l'impulso, fin qui, è rappresentato tramite coordinate sferiche, si è optato per un cambiamento di coordinate da sferiche a cartesiane. Dopo il passaggio di coordinate, si è proceduto con il riempimento di altri tre istogrammi, il primo contenente il modulo dell'impulso, il secondo il modulo dell'impulso trasverso e il terzo la distribuzione di energia delle particelle<sup>7</sup>.

Ogni particella di risonanza  $K^*$  decade o in una coppia  $\tau^+K^-$  o in  $\tau^-K^+$  con probabilità rispettivamente del 50% e 50%. Come già anticipato, dai prodotti di decadimento  $\tau K$  si può ricostruire la massa invariante di  $K^*$ . Affinché ciò avvenga, si sono creati cinque istogrammi di massa invariante: il primo include la massa invariante calcolata tra tutte le particelle (anche i prodotti di decadimento) di carica discorde, il secondo contiene la

<sup>5</sup>Eventuali memory leaks sono stati ricercati in fase di debugging aggiungendo le opzioni di compilazione `-fsanitize=address`, `-Wall` e `-Wextra`.

<sup>6</sup>Nessuna direzione delle particelle è privilegiata, al momento della generazione.

<sup>7</sup>L'energia  $E$  delle particelle è data formalmente da  $E = \sqrt{m^2 + \|\vec{P}\|^2}$ , con  $m$  la massa di una particella e  $\vec{P}$  il vettore quantità di moto.

massa invariante calcolata tra tutte le particelle (inclusi i prodotti di decadimento) di carica concorde, il terzo raccoglie le masse invarianti tra  $\tau^+K^-$   $\tau^-K^+$ , il quarto quelle tra  $\tau^+K^+$   $\tau^-K^-$ , e il quinto contenente un istogramma "di benchmark", con le masse invarianti tra i prodotti generati dal decadimento della  $K^*$ ; quest'ultimo, in particolare, serve a verificare che la gestione di decadimento, le formule di massa invariante ed energia e le classi sopra definite siano state implementate correttamente.

Tutti gli istogrammi sopra presentati, vengono illustrati nella successiva sezione di analisi.

## 4 Analisi

Aperto in modalità lettura il *ROOT File* contenente i dati della simulazione, si può procedere con l'analisi dei 12 istogrammi salvati, avvenuta nella macro indipendente **analysis.cpp**, al fine di separare in modo netto la parte di generazione con quella di analisi.

I fit intercorsi nella sezione di analisi avvengono tutti attraverso la definizione di funzioni di classe `TF1`, a partire da funzioni predefinite di *ROOT*.

Analizzando l'istogramma dei tipi di particelle generati (Figura 1) si può estrarre il contenuto di ogni bin e confrontare le occorrenze effettivamente osservate con quelle attese (queste ultime ricavate dalla generazione secondo proporzioni definite). I risultati, dotati di una buona corrispondenza, sono presentati in Tabella 1.

Abbondanze delle particelle		
Specie	Occorrenze osservate	Occorrenze attese
$\pi^+$	$(3999.5 \pm 2.0) \cdot 10^3$	$4 \cdot 10^6$
$\pi^-$	$(4001.9 \pm 2.0) \cdot 10^3$	$4 \cdot 10^6$
$K^+$	$(4993.7 \pm 7.1) \cdot 10^2$	$5 \cdot 10^5$
$K^-$	$(5001.6 \pm 7.1) \cdot 10^2$	$5 \cdot 10^5$
$p^+$	$(4490.2 \pm 6.7) \cdot 10^2$	$4.5 \cdot 10^5$
$p^-$	$(4496.7 \pm 6.7) \cdot 10^2$	$4.5 \cdot 10^5$
$K^*$	$(1004.0 \pm 3.2) \cdot 10^2$	$10^5$

Tabella 1: Occorrenze delle particelle generati e attese, con relativi errori, su  $10^7$  eventi generati.

Nella Tabella 2, si può verificare numericamente che le distribuzioni degli angoli azimutali e polari (i cui istogrammi si trovano nella parte rimanente della Figura 1), così come la distribuzione esponenziale del modulo dell'impulso (Figura 2), sono coerenti con quanto simulato in fase di generazione, visto che il rapporto  $\chi^2/DOF$  è molto vicino all'unità.

Distribuzione angoli azimutale ( $\theta$ ) e polare ( $\varphi$ ), modulo dell'impulso					
Distribuzione	Parametri del fit	$\chi^2$	$\chi^2_{\text{prob.}}$	$DOF$	$\chi^2/DOF$
Fit a distribuzione angolo $\theta$	Const: $9999.0 \pm 3.2$	1048	0.14	999	1.0
Fit a distribuzione angolo $\varphi$	$9999.1 \pm 3.2$	888.6	0.99	999	0.89
Fit a distribuzione modulo impulso	Const: $12.2061 \pm 0.0004$	461.7	0.8769	498	0.927014
	Tau, [c/GeV]: $-1.0000 \pm 0.0003$				

Tabella 2: Parametri di fit delle distribuzioni di  $\theta$  e  $\varphi$  e del modulo dell'impulso, con relativi errori. Per le distribuzioni degli angoli si è usata la funzione predefinita di ROOT "pol0" ( $f(x) = \text{Const}$ ), mentre per il modulo dell'impulso la funzione "expo" ( $f(x) = e^{\text{Const} + \text{Tau} \cdot x}$ ), dove il parametro "Tau" è l'antireciproco della media della distribuzione esponenziale.

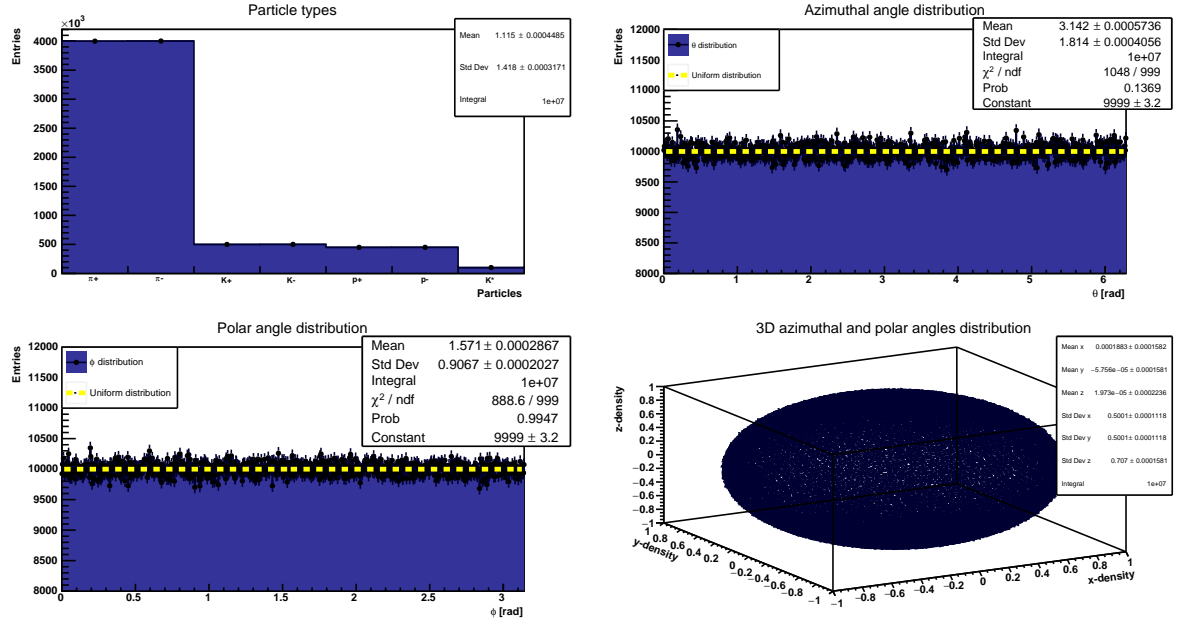


Figura 1: Da sinistra a destra: in alto, i tipi di particelle generate e distribuzione dell'angolo azimutale e relativo fit uniforme, in basso, distribuzione dell'angolo polare e relativo fit uniforme e distribuzione tridimensionale degli angoli azimutale e polare, per verificare visivamente l'indipendenza tra i due angoli, garantendo omogeneità e isotropia delle direzioni delle particelle.

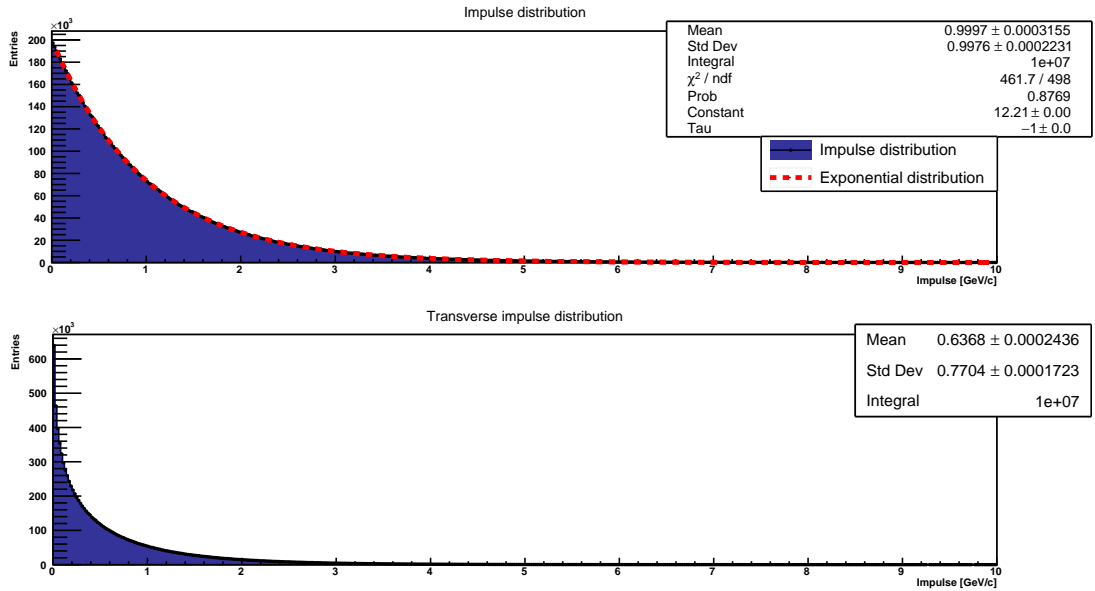


Figura 2: In alto la distribuzione del modulo dell'impulso e relativo fit esponenziale, in basso la distribuzione del modulo dell'impulso trasverso.

Il segnale di risonanza della  $K^*$  è piuttosto debole, pertanto non si può estrarre con facilità senza i contributi dei suoi prodotti di decadimento e delle particelle di carica discorde (particella e relativa antiparticella).



Il picco di risonanza di  $K^*$  è sommerso dal fondo delle combinazioni accidentali, eppure, manipolando gli istogrammi tramite il metodo Add di ROOT, agendo in modo da operare una differenza di istogrammi, si possono ottenere due istogrammi da cui ricavare la massa e la larghezza di risonanza di  $K^*$ .

In pratica, per isolare il segnale ed estrarre i parametri di massa e larghezza di risonanza di  $K^*$ , si devono considerare gli **istogrammi di massa invariante** della fase di generazione, agendo in questo modo:

- sottrarre gli istogrammi contenenti le coppie di particelle con carica opposta con particelle dotate di stessa carica (Figura 4);
- sottrarre gli istogrammi contenenti solo coppie di particelle  $\tau K$  *decadute* con carica opposta con particelle  $\tau K$  *decadute* dotate di stessa carica (Figura 5).

Il rapporto  $\chi^2/DOF$  è migliore nella seconda differenza (si veda la Tabella 3).

Si assume una distribuzione gaussiana per il segnale della  $K^*$ <sup>8</sup>; dalle Figura 4 e Figura 5 si possono ricavare la media e la sigma della distribuzione, che corrispondono rispettivamente alla massa e alla larghezza di risonanza di  $K^*$ .

I risultati dei due fit sopra descritti vengono confrontati con l'istogramma di benchmark in Figura 3, contenente l'istogramma della "vera" massa invariante tra i prodotti del decadimento di  $K^*$ . I risultati, riassunti nella Tabella 3, mostrano un buon accordo, entro gli errori, delle masse di risonanza di  $K^*$ ; osservando la differenza di istogrammi ottenuta dalle combinazioni di tutte le particelle, si nota una discrepanza nel dato della larghezza di risonanza rispetto al dato atteso. Tale divergenza rende il rapporto  $\chi^2/DOF$  lievemente migliore nelle combinazioni di massa invariante dei soli prodotti di decadimento  $\tau K$ .

---

<sup>8</sup>In realtà questa è un'approssimazione (accettabile) della vera distribuzione di risonanza della  $K^*$ , meglio rappresentata dalla distribuzione di Breit-Wigner.

Analisi della K*					
Distribuzione fit	Media ( $\bar{m}$ ) [GeV/c <sup>2</sup> ]	Sigma ( $\sigma$ ) [GeV/c <sup>2</sup> ]	Ampiezza (A)	$\chi^2$ prob.	$\chi^2/DOF$
Massa invariante vere K*	$0.8916 \pm 0.0002$	$0.0503 \pm 0.0001$	$(12.0 \pm 4.6) \cdot 10^3$	0.77	0.79
Massa invariante ottenuta da differenza delle combinazioni di carica discorde e concorde	$0.893 \pm 0.022$	$0.088 \pm 0.024$	$(9.2 \pm 2.0) \cdot 10^3$	0.91	0.67
Massa invariante ottenuta da differenza delle combinazioni $\pi K$ decadute di carica discorde e concorde	$0.8937 \pm 0.0064$	$0.0533 \pm 0.0075$	$(67.1 \pm 7.4) \cdot 10^2$	0.83	0.74

Tabella 3: Masse Invarianti ottenute attraverso combinazioni differenti (indicate in tabella) di differenze di istogrammi. I parametri, e i relativi errori, derivano da un fit gaussiano secondo la funzione  $\left(f(x) = A \cdot e^{-0.5 \cdot \left(\frac{x-\bar{m}}{\sigma}\right)^2}\right)$ .

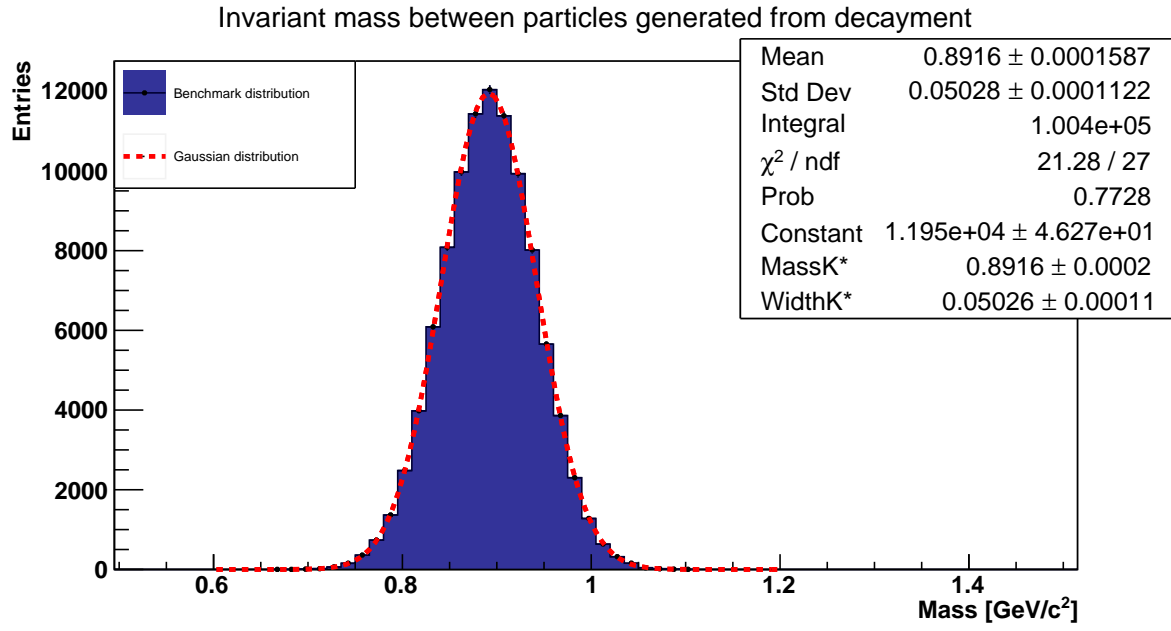


Figura 3: Istogramma di benchmark: massa invariante tra i prodotti generati dal decadimento della  $K^*$  e relativo fit gaussiano.

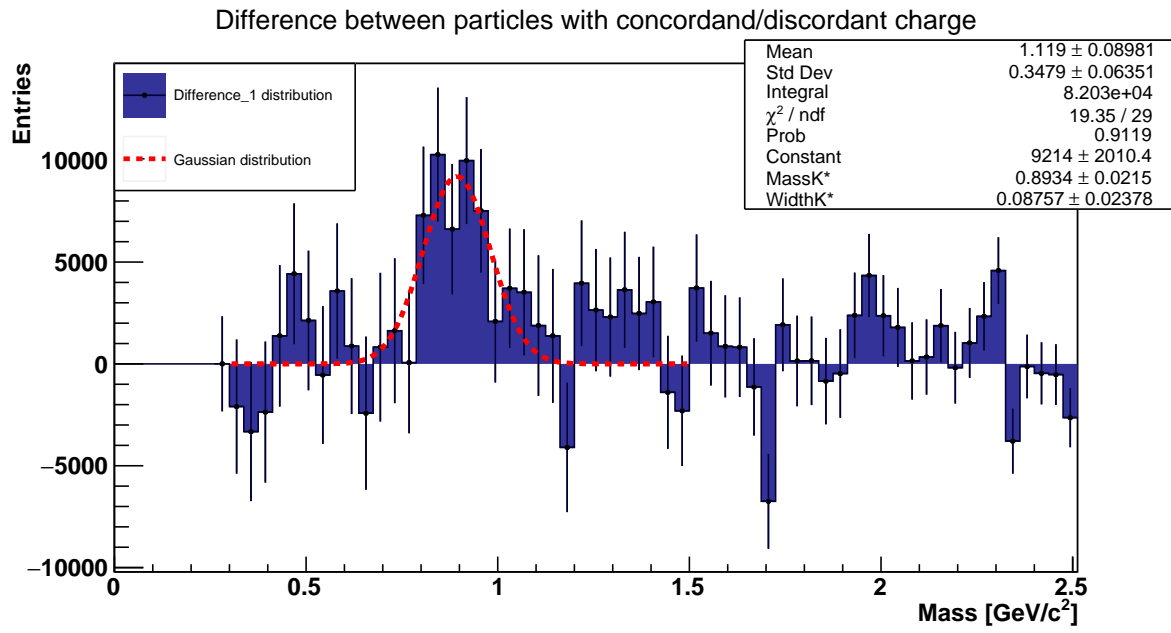


Figura 4: Differenza tra tutte le particelle con carica concorde e discorde e relativo fit gaussiano.

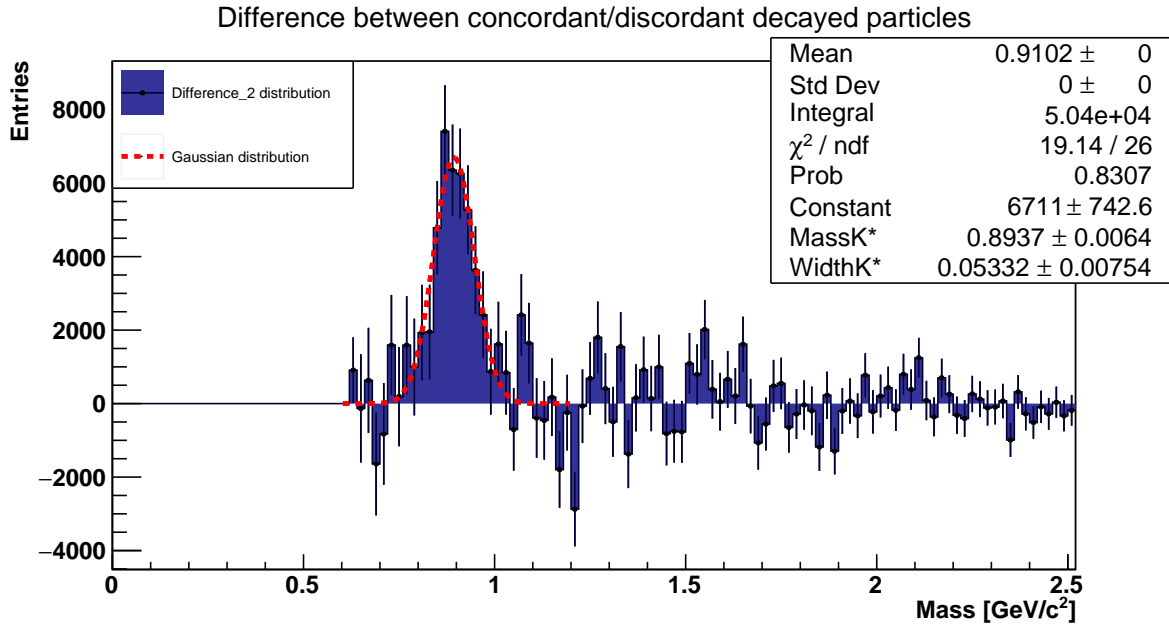


Figura 5: Differenza tra le coppie  $\tau K$  con carica concorde e discorde e relativo fit gaussiano.

#### 4.1 Grafici suppletivi

Si propongono di seguito i grafici citati nella simulazione ma non utilizzati nella sezione di analisi.

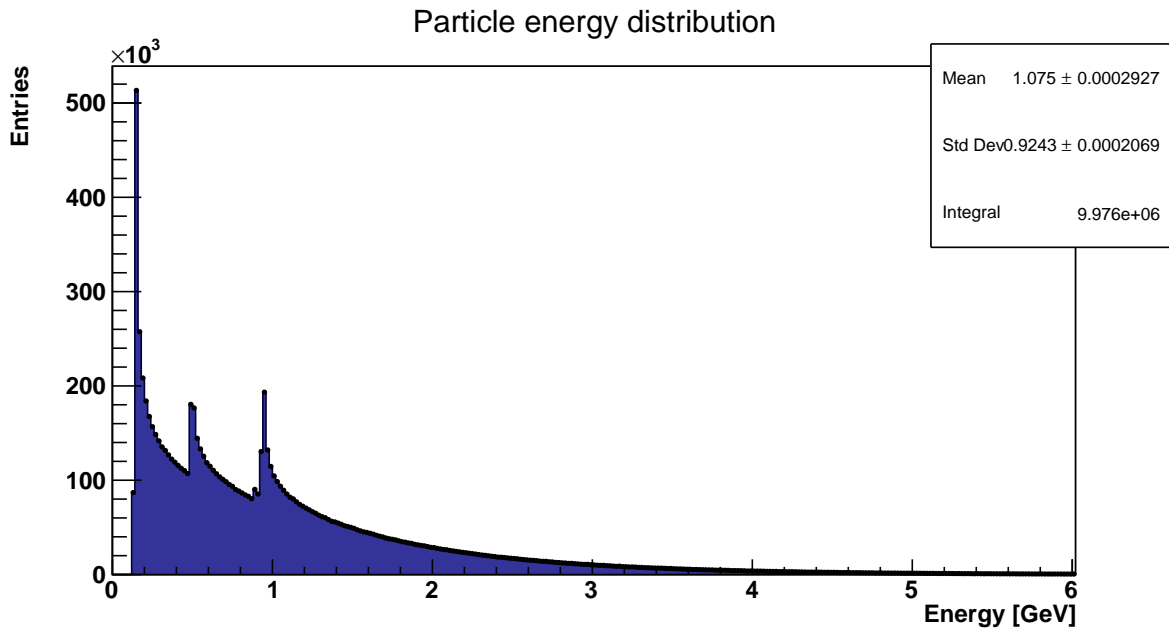


Figura 6: Distribuzione dell'energia delle particelle.

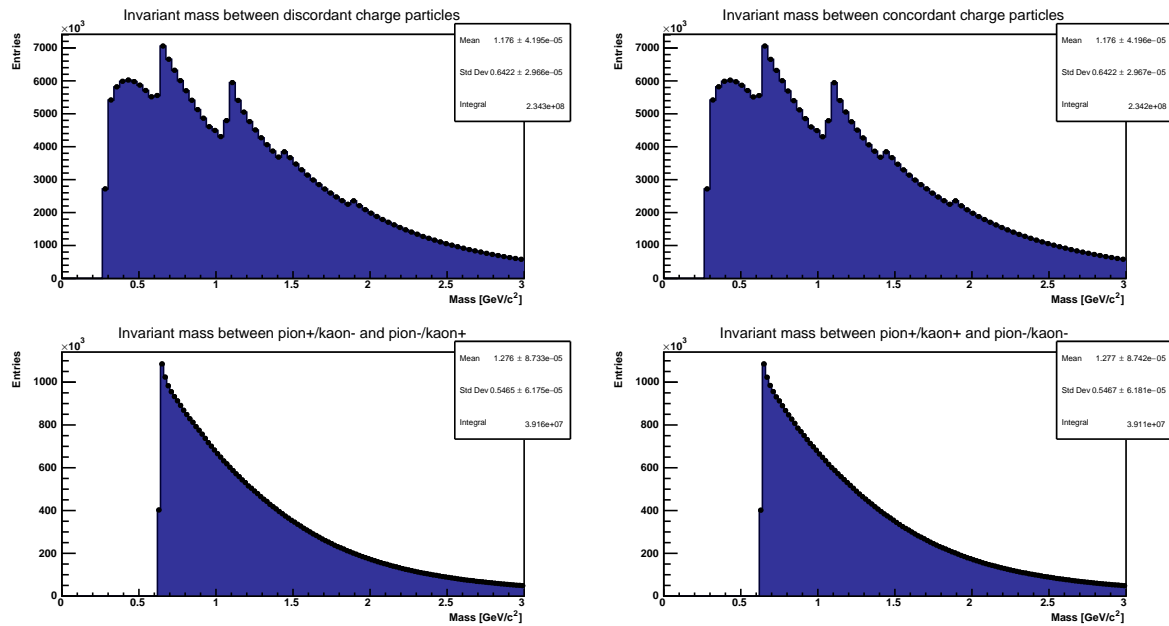


Figura 7: Combinazioni (indicate nei titoli dei grafici) delle masse invarianti tra particelle concordi, discordi e prodotti di decadimento  $\tau K$ .

## 5 Appendice

Si presenta di seguito il codice delle classi (con relativi header file e file di implementazione), dei programmi di generazione e analisi.

Code 1: Header file di Particle Type.

```

1 #ifndef PARTICLETYPE_HPP
2 #define PARTICLETYPE_HPP
3
4 #include <iomanip>
5 #include <iostream>
6
7 class ParticleType {
8 public:
9     ParticleType(std::string const& name, double mass, int charge);
10
11     // Getters for member data
12
13     std::string const GetName() const;
14
15     double GetMass() const;
16
17     int GetCharge() const;
18
19     virtual double GetWidth() const;
20
21     // Printer for all data
22     virtual void Print() const;

```

```

23
24 private:
25     std::string const fName;
26     double const fMass;
27     int const fCharge;
28 };
29
30 #endif

```

Code 2: File di implementazione di Particle Type.

```

1 #include "particleType.hpp"
2
3 ParticleType::ParticleType(std::string const& name, double mass,
4     int charge)
5     : fName{name}, fMass{mass}, fCharge{charge} {}
6
7 std::string const ParticleType::GetName() const { return fName; }
8
9 double ParticleType::GetMass() const { return fMass; }
10
11 int ParticleType::GetCharge() const { return fCharge; }
12
13 double ParticleType::GetWidth() const { return 0; }
14
15 void ParticleType::Print() const {
16     using namespace std;
17
18     // Printing data with same spacing
19     cout << left << setw(9) << "\nName:" << fName << left << setw(9)
20         << "\nMass:" << fMass << left << setw(9) << "\nCharge:" <<
21         fCharge
22         << '\n';
23 }

```

Code 3: Header file di Resonance Type.

```

1 #ifndef RESONANCETYPE_HPP
2 #define RESONANCETYPE_HPP
3 #include "particleType.hpp"
4
5 class ResonanceType : public ParticleType {
6 public:
7     ResonanceType(std::string const& name, double mass, int charge,
8         double width);
9
10    double GetWidth() const override;
11    void Print() const override;
12
13 private:
14     double const fWidth;
15 };

```

```
16 || #endif
```

Code 4: File di implementazione di Particle Type.

```
1 || #include "resonanceType.hpp"
2 ||
3 || ResonanceType::ResonanceType(std::string const& name, double mass,
4 ||                               int charge,
5 ||                               double width)
6 ||     : ParticleType{name, mass, charge}, fWidth{width} {}
7 ||
8 || double ResonanceType::GetWidth() const { return fWidth; }
9 ||
10 || void ResonanceType::Print() const {
11 ||     using namespace std;
12 ||     ParticleType::Print();
13 ||     cout << left << setw(8) << "Width:" << fWidth << '\n';
14 || }
```

Code 5: Header file di Particle.

```
1 || #ifndef PARTICLE_HPP
2 || #define PARTICLE_HPP
3 ||
4 || #include <vector>
5 ||
6 || #include "particleType.hpp"
7 || #include "resonanceType.hpp"
8 ||
9 || class Particle {
10 || public:
11 ||     Particle(std::string const& name, double px = 0., double py =
12 ||             0.,
13 ||             double pz = 0.);
14 ||
15 ||     // Default constructor
16 ||     Particle();
17 ||
18 ||     // Method used to add particles in fParticleType
19 ||     static void AddParticleType(std::string const& name, double mass
20 ||                                , int charge,
21 ||                                double width = 0.);
22 ||
23 ||     void SetIndex(int index);
24 ||
25 ||     void SetIndex(std::string const& name);
26 ||
27 ||     void SetP(double px, double py, double pz);
28 ||
29 ||     // Getters and printers
30 ||
31 ||     int GetIndex() const;
```

```

30
31     static void PrintParticle();
32
33     void PrintIndex() const;
34
35     double GetPx() const;
36
37     double GetPy() const;
38
39     double GetPz() const;
40
41     double GetMass() const;
42
43     double GetEnergy() const;
44
45     double GetInvMass(Particle const& p) const;
46
47     // Used to get fParticleType's size in tests and in member
48     // funtions above
49     static int GetSize();
50
51     int GetCharge() const;
52
53     // Decay in two particles
54     int Decay2Body(Particle& dau1, Particle& dau2) const;
55 private:
56     static std::vector<ParticleType*> fParticleType;
57
58     int fIndex;
59     double fPx;
60     double fPy;
61     double fPz;
62
63     static int FindParticle(std::string const& particleName);
64
65     void Boost(double bx, double by, double bz);
66 };
67
68 #endif

```

Code 6: File di implementazione di Particle class.

```

1 #include "particle.hpp"
2
3 #include <algorithm>
4 #include <cassert>
5 #include <cmath>
6
7 Particle::Particle(std::string const& name, double px, double py,
8     double pz)
9     : fPx{px}, fPy{py}, fPz{pz} {

```



```

9      auto index = FindParticle(name);
10
11     // Converting unsigned int in signed int to make comparisons
12     // without narrowing
13     auto size = GetSize();
14
15     if (index == size) {
16         std::cerr << "No matches found for particle \'' << name << "
17         << '\n';
18     } else {
19         fIndex = index;
20     }
21
22     assert(fIndex != size);
23 }
24
25 Particle::Particle() { fIndex = -1; }
26
27 std::vector<ParticleType*> Particle::fParticleType{};
28
29 int Particle::FindParticle(std::string const& particleName) {
30     auto it = std::find_if(
31         fParticleType.begin(), fParticleType.end(),
32         [&](ParticleType* p) { return particleName == p->GetName();
33         });
34
35     // Finding iterator position
36     return it - fParticleType.begin();
37 }
38
39 int Particle::GetIndex() const { return fIndex; }
40
41 void Particle::AddParticleType(std::string const& name, double
42     mass, int charge,
43     double width) {
44     auto index = FindParticle(name);
45     auto size = GetSize();
46
47     if (index != size) {
48         std::cerr << "Particle \'' << name << "\"\' already inserted\n";
49     } else {
50         ResonanceType* resT = new ResonanceType{name, mass, charge,
51         width};
52         fParticleType.push_back(resT);
53
54         std::cout << "Inserted particle \'' << name << "\"\' in index "
55         << index
56         << '\n';
57     }
58 }
59

```

```

54 void Particle::SetIndex(int index) {
55     auto size = GetSize();
56
57     // < -1 is used because default constructor sets fIndex to -1
58     if (index >= size || index < -1) {
59         std::cerr << "Particle not found\n";
60     } else {
61         fIndex = index;
62     }
63 }
64
65 void Particle::SetIndex(std::string const& name) {
66     SetIndex(FindParticle(name));
67 }
68
69 void Particle::PrintParticle() {
70     std::for_each(fParticleType.begin(), fParticleType.end(),
71         [](ParticleType* p) { p->Print(); });
72 }
73
74 void Particle::PrintIndex() const {
75     using namespace std;
76
77     // Printing data with same spacing
78     cout << left << setw(10) << "\nIndex:" << fIndex << left << setw
79         (10)
80         << "\nName" << fParticleType[fIndex]->GetName() << left <<
81         setw(10)
82         << "\nPx:" << fPx << left << setw(10) << "\nPy:" << fPy <<
83         left
84         << setw(10) << "\nPz:" << fPz << '\n';
85 }
86
87 double Particle::GetPx() const { return fPx; }
88
89 double Particle::GetPy() const { return fPy; }
90
91 double Particle::GetPz() const { return fPz; }
92
93 double Particle::GetMass() const { return fParticleType[fIndex]->
94     GetMass(); }
95
96 double Particle::GetEnergy() const {
97     return sqrt(GetMass() * GetMass() + (fPx * fPx + fPy * fPy + fPz
98         * fPz));
99 }
100
101 double Particle::GetInvMass(Particle const& p) const {
102     return sqrt((GetEnergy() + p.GetEnergy()) * (GetEnergy() + p.
103         GetEnergy()) -
104         ((fPx + p.fPx) * (fPx + p.fPx) + (fPy + p.fPy) * (

```

```

    fPy + p.fPy) +
    (fPz + p.fPz) * (fPz + p.fPz)));
100 }
101
102 void Particle::SetP(double px, double py, double pz) {
103     fPx = px;
104     fPy = py;
105     fPz = pz;
106 }
107
108 int Particle::GetSize() {
109     int size = fParticleType.size();
110     return size;
111 }
112
113 int Particle::GetCharge() const { return fParticleType[fIndex]->
    GetCharge(); }
114
115 int Particle::Decay2Body(Particle& dau1, Particle& dau2) const {
116     if (GetMass() == 0.) {
117         printf("Decayment cannot be preformed if mass is zero\n");
118         return 1;
119     }
120
121     double massMot = GetMass();
122     double massDau1 = dau1.GetMass();
123     double massDau2 = dau2.GetMass();
124
125     if (fIndex > -1) { // add width effect
126
127         // gaussian random numbers
128
129         float x1, x2, w, y1, y2;
130
131         double invnum = 1. / RAND_MAX;
132         do {
133             x1 = 2.0 * rand() * invnum - 1.0;
134             x2 = 2.0 * rand() * invnum - 1.0;
135             w = x1 * x1 + x2 * x2;
136         } while (w >= 1.0);
137
138         w = sqrt((-2.0 * log(w)) / w);
139         y1 = x1 * w;
140         y2 = x2 * w;
141
142         massMot += fParticleType[fIndex]->GetWidth() * y1;
143     }
144
145     if (massMot < massDau1 + massDau2) {
146         printf(
147             "Decayment cannot be preformed because mass is too low in

```

```

148         this "
149         "channel\n");
150     return 2;
151 }
152
153 double pout =
154     sqrt(
155         (massMot * massMot - (massDau1 + massDau2) * (massDau1 +
156             massDau2)) *
157         (massMot * massMot - (massDau1 - massDau2) * (massDau1 -
158             massDau2))) /
159     massMot * 0.5;
160
161 double norm = 2 * M_PI / RAND_MAX;
162
163 double phi = rand() * norm;
164 double theta = rand() * norm * 0.5 - M_PI / 2.;
165 dau1.SetP(pout * sin(theta) * cos(phi), pout * sin(theta) * sin(
166     phi),
167     pout * cos(theta));
168 dau2.SetP(-pout * sin(theta) * cos(phi), -pout * sin(theta) *
169     sin(phi),
170     -pout * cos(theta));
171
172 double energy = sqrt(fPx * fPx + fPy * fPy + fPz * fPz + massMot
173     * massMot);
174
175 double bx = fPx / energy;
176 double by = fPy / energy;
177 double bz = fPz / energy;
178
179 dau1.Boost(bx, by, bz);
180 dau2.Boost(bx, by, bz);
181
182 return 0;
183 }
184
185 void Particle::Boost(double bx, double by, double bz) {
186     double energy = GetEnergy();
187
188     // Boost this Lorentz vector
189     double b2 = bx * bx + by * by + bz * bz;
190     double gamma = 1.0 / sqrt(1.0 - b2);
191     double bp = bx * fPx + by * fPy + bz * fPz;
192     double gamma2 = b2 > 0 ? (gamma - 1.0) / b2 : 0.0;
193
194     fPx += gamma2 * bp * bx + gamma * bx * energy;
195     fPy += gamma2 * bp * by + gamma * by * energy;
196     fPz += gamma2 * bp * bz + gamma * bz * energy;
197 }

```

Code 7: File di implementazione dei test attraverso il programma DOCTEST.

```
1 #define DOCTEST_CONFIG_IMPLEMENT_WITH_MAIN
2
3 #include "doctest.h"
4 #include "particle.hpp"
5 #include "particleType.hpp"
6 #include "resonanceType.hpp"
7
8 TEST_CASE("ParticleType and ResonanceType") {
9     ParticleType const pT1{"e-", 0.511, -1};
10    ParticleType const pT2{"p+", 10e3, 1};
11
12    ResonanceType const rT1{"k+", 0.423, -1, 0.7};
13    ResonanceType const rT2{"k-", 0.836, 1, 0.6};
14
15    SUBCASE("Testing methods") {
16        CHECK(pT1.GetName() == ("e-"));
17        CHECK(pT1.GetMass() == doctest::Approx(0.511));
18        CHECK(pT1.GetCharge() == -1);
19        CHECK(pT1.GetWidth() == 0);
20
21        CHECK(pT2.GetName() == ("p+"));
22        CHECK(pT2.GetMass() == doctest::Approx(10e3));
23        CHECK(pT2.GetCharge() == 1);
24        CHECK(pT2.GetWidth() == 0);
25
26        CHECK(rT1.GetName() == ("k+"));
27        CHECK(rT1.GetMass() == doctest::Approx(0.423));
28        CHECK(rT1.GetCharge() == -1);
29        CHECK(rT1.GetWidth() == doctest::Approx(0.7));
30
31        CHECK(rT2.GetName() == ("k-"));
32        CHECK(rT2.GetMass() == doctest::Approx(0.836));
33        CHECK(rT2.GetCharge() == 1);
34        CHECK(rT2.GetWidth() == doctest::Approx(0.6));
35
36        // Testing output streams directly on screen
37        pT1.Print();
38        pT2.Print();
39        rT1.Print();
40        rT2.Print();
41    }
42
43    SUBCASE("Testing virtual function") {
44        // const here is needed
45        ParticleType const* a[2]{&pT1, &rT1};
46
47        // Name, mass and charge are printed for ParticleType, while
48        // charge and width are shown for ResonanceType
49        for (int i{}; i != 2; ++i) {
```

```

50     a[i]->Print();
51 }
52 }
53 }
54
55 TEST_CASE("Particle") {
56     // Separating outputs for better readability
57     std::string s{"\n***** Line break
58         *****\n"};
59     std::cout << s << '\n';
60
61     Particle::AddParticleType("e-", 0.511, -1);
62     Particle::AddParticleType("p+", 10e3, 1);
63     Particle::AddParticleType("k+", 0.423, -1, 0.7);
64
65     // Checking error in Particle::Particle
66     Particle pTest1{"Not_There"};
67
68     // Checking right insertion
69     Particle p1{"e-", 2.3e3, -3.43e3, -6.32e3};
70     Particle p2{"p+"};
71     Particle const p3{"k+", 1e3, -1e3, 2.1e3};
72
73     CHECK(Particle::GetSize() == 3);
74
75     CHECK(p1.GetIndex() == 0);
76     CHECK(p2.GetIndex() == 1);
77     CHECK(p3.GetIndex() == 2);
78
79     // Checking error in AddParticleType
80     Particle::AddParticleType("p+", 0.466, 2, 1.8);
81     Particle::AddParticleType("k+", 0.463, 1, 0.8);
82
83     Particle::PrintParticle();
84
85     // Checking 2 errors in SetIndex
86     p1.SetIndex(4);
87     p1.SetIndex("Not_There");
88
89     CHECK_FALSE(p1.GetIndex() == 4);
90
91     std::cout << s;
92
93     p1.PrintIndex();
94     p2.PrintIndex();
95     p3.PrintIndex();
96
97     SUBCASE("Testing Set/GetIndex") {
98         p1.SetIndex(1);
99         p1.PrintIndex();

```

```

100     CHECK(p1.GetIndex() == 1);
101     CHECK(p2.GetIndex() == 1);
102
103     p1.SetIndex("p+");
104     CHECK(p1.GetIndex() == 1);
105     p1.SetIndex(0);
106 }
107
108 CHECK(p1.GetIndex() == 0);
109
110 // Testing GetP
111 CHECK(p1.GetPx() == doctest::Approx(2.3e3));
112 CHECK(p1.GetPy() == doctest::Approx(-3.43e3));
113 CHECK(p1.GetPz() == doctest::Approx(-6.32e3));
114 CHECK(p2.GetPx() == doctest::Approx(0.));
115 CHECK(p2.GetPy() == doctest::Approx(0.));
116 CHECK(p2.GetPz() == doctest::Approx(0.));
117 CHECK(p3.GetPx() == doctest::Approx(1e3));
118 CHECK(p3.GetPy() == doctest::Approx(-1e3));
119 CHECK(p3.GetPz() == doctest::Approx(2.1e3));
120
121 // Testing GetMass
122 CHECK(p1.GetMass() == doctest::Approx(0.511));
123 CHECK(p2.GetMass() == doctest::Approx(10e3));
124 CHECK(p3.GetMass() == doctest::Approx(0.423));
125
126 // Testing GetCharge
127 CHECK(p1.GetCharge() == -1);
128 CHECK(p2.GetCharge() == 1);
129 CHECK(p3.GetCharge() == -1);
130
131 // Testing GetEnergy
132 CHECK(p1.GetEnergy() == doctest::Approx(7549.66).epsilon(1.));
133 CHECK(p2.GetEnergy() == doctest::Approx(10e3).epsilon(1.));
134 CHECK(p3.GetEnergy() == doctest::Approx(2531.8));
135
136 // Testing GetInvMass
137 CHECK(p1.GetInvMass(p2) == doctest::Approx(15842).epsilon(1.));
138 CHECK(p2.GetInvMass(p3) == doctest::Approx(12273).epsilon(1.));
139 CHECK(p3.GetInvMass(p1) == doctest::Approx(7301).epsilon(1.));
140
141 // Testing SetP
142 p2.SetP(1e3, -4e3, -5e3);
143
144 CHECK(p2.GetPx() == doctest::Approx(1e3));
145 CHECK(p2.GetPy() == doctest::Approx(-4e3));
146 CHECK(p2.GetPz() == doctest::Approx(-5e3));
147 }

```

Code 8: File di implementazione della generazione degli eventi.

```

1 // To compile in SHELL: "g++ resonanceType.cpp particleType.cpp

```

```

    particle.cpp
2  // simulation.cpp 'root-config --cflags --libs '
3
4  #include <algorithm>
5  #include <cstdlib>
6
7  #include "TCanvas.h"
8  #include "TFile.h"
9  #include "TH1F.h"
10 #include "TH3F.h"
11 #include "TLatex.h"
12 #include "TMath.h"
13 #include "TROOT.h"
14 #include "TRandom.h"
15 #include "TStyle.h"
16 #include "particle.hpp"
17 #include "particleType.hpp"
18 #include "resonanceType.hpp"
19
20 // Cosmetics
21 void setStyle() {
22     gROOT->SetStyle("Plain");
23     gStyle->SetOptStat(1122);
24     gStyle->SetPalette(57);
25     gStyle->SetOptTitle(0);
26 }
27
28 void simulation() {
29     // Cosmetics
30     setStyle();
31
32     // To avoid reloading manually if .so is present
33     R__LOAD_LIBRARY(particleType_cpp.so);
34     R__LOAD_LIBRARY(resonanceType_cpp.so);
35     R__LOAD_LIBRARY(particle_cpp.so);
36
37     // Generating random generator seed
38     gRandom->SetSeed();
39
40     // Creating TFile
41     TFile* file = new TFile("simulation_collisions.root", "RECREATE"
42         );
43
44     // \u03C0 is the unicode escape character for pion particles
45     Particle::AddParticleType("\u03C0+", 0.13957, 1);
46     Particle::AddParticleType("\u03C0-", 0.13957, -1);
47     Particle::AddParticleType("K+", 0.49367, 1);
48     Particle::AddParticleType("K-", 0.49367, -1);
49     Particle::AddParticleType("p+", 0.93827, +1);
50     Particle::AddParticleType("p-", 0.93827, -1);
51     Particle::AddParticleType("K*", 0.89166, 0, 0.05);

```



```

51
52 // Printing particles' info
53 Particle::PrintParticle();
54
55 // Creating histograms
56
57 TH1F* h1 = new TH1F("h1", "Particle types", 7, 0, 7);
58
59 TH1F* h2 =
60     new TH1F("h2", "Azimuthal angle distribution", 1e3, 0, 2 *
        TMath::Pi());
61 TH1F* h3 = new TH1F("h3", "Polar angle distribution", 1e3, 0,
        TMath::Pi());
62 TH1F* h4 = new TH1F("h4", "Impulse distribution", 500, 0, 10);
63 TH1F* h5 = new TH1F("h5", "Transverse impulse distribution",
        500, 0, 10);
64 TH1F* h6 = new TH1F("h6", "Particle energy distribution", 500,
        0, 10);
65 TH1F* h7 = new TH1F(
66     "h7", "Invariant mass between discordant charge particles",
        80, 0, 3);
67 TH1F* h8 = new TH1F(
68     "h8", "Invariant mass between concordant charge particles",
        80, 0, 3);
69 TH1F* h9 = new TH1F(
70     "h9", "Invariant mass between pion+/kaon- and pion-/kaon+",
        150, 0, 3);
71 TH1F* h10 = new TH1F(
72     "h10", "Invariant mass between pion+/kaon+ and pion-/kaon-",
        150, 0, 3);
73 TH1F* h11 = new TH1F(
74     "h11", "Invariant mass between particles generated from
        decayment", 200,
75     0, 3);
76 TH3F* h12 = new TH3F("h12", "3D azimuthal and polar angles
        distribution", 100,
77     -1, 1, 100, -1, 1, 100, -1, 1);
78
79 // Applying Sumw2() method on invariant mass histograms
80 h7->Sumw2();
81 h8->Sumw2();
82 h9->Sumw2();
83 h10->Sumw2();
84 h11->Sumw2();
85
86 // Respectively number of events and particles generated per
    event
87 constexpr double nGen{1e5};
88 constexpr double nPar{1e2};
89
90 // Creating array of 100+ generated particles

```

```

91     std::array<Particle, 120> eventParticles;
92
93     // Filling histograms
94
95     double phi{};
96     double theta{};
97     double p{};
98     double xRNDM{};
99     double yRNDM{};
100
101     for (int i{}; i != nGen; ++i) {
102         // Used to track eventParticles effective size every event
103         int effectiveSize{100};
104
105         for (int j{}; j != nPar; ++j) {
106             Particle particle;
107
108             phi = gRandom->Uniform(0, 2 * TMath::Pi());
109             theta = gRandom->Uniform(0, TMath::Pi());
110             p = gRandom->Exp(1);
111             xRNDM = gRandom->Rndm();
112
113             if (xRNDM < 0.4) {
114                 particle.SetIndex("\u03C0+");
115             } else if (xRNDM < 0.8) {
116                 particle.SetIndex("\u03C0-");
117             } else if (xRNDM < 0.85) {
118                 particle.SetIndex("K+");
119             } else if (xRNDM < 0.90) {
120                 particle.SetIndex("K-");
121             } else if (xRNDM < 0.945) {
122                 particle.SetIndex("p+");
123             } else if (xRNDM < 0.99) {
124                 particle.SetIndex("p-");
125             } else {
126                 particle.SetIndex("K*");
127             }
128
129             particle.SetP(p * TMath::Sin(theta) * TMath::Cos(phi),
130                         p * TMath::Sin(theta) * TMath::Sin(phi),
131                         p * TMath::Cos(theta));
132
133             eventParticles[j] = particle;
134
135             h1->Fill(particle.GetIndex());
136             h2->Fill(phi);
137             h3->Fill(theta);
138             h12->Fill(TMath::Sin(theta) * TMath::Cos(phi),
139                     TMath::Sin(theta) * TMath::Sin(phi), TMath::Cos(
140                         theta));
140             h4->Fill(p);

```

```

141     h5->Fill(TMath::Sqrt(particle.GetPx() * particle.GetPx() +
142                          particle.GetPy() * particle.GetPy()));
143     h6->Fill(particle.GetEnergy());
144 }
145
146 std::for_each(eventParticles.begin(), eventParticles.end(),
147               [&](Particle const& par) {
148     if (par.GetIndex() == 6) {
149         Particle dau1;
150         Particle dau2;
151         yRNDM = gRandom->Rndm();
152
153         if (yRNDM < 0.5) {
154             dau1.SetIndex("\u03C0+");
155             dau2.SetIndex("K-");
156             par.Decay2Body(dau1, dau2);
157         } else {
158             dau1.SetIndex("\u03C0-");
159             dau2.SetIndex("K+");
160             par.Decay2Body(dau1, dau2);
161         }
162         eventParticles[effectiveSize] = dau1;
163         eventParticles[effectiveSize + 1] = dau2;
164         effectiveSize += 2;
165
166         h11->Fill(dau1.GetInvMass(dau2));
167     }
168 });
169
170 // Variable needed to find all combinations of the particles
171 // that are in the
172 // array, taken at groups of two
173 int n{};
174
175 std::for_each(
176     eventParticles.begin(), eventParticles.begin() +
177     effectiveSize - 1,
178     [&](Particle const& par_i) {
179         auto nx = std::next((eventParticles.begin() + n));
180
181         std::for_each(
182             nx, eventParticles.begin() + effectiveSize - 1,
183             [&](Particle const& par_j) {
184                 if (par_i.GetCharge() * par_j.GetCharge() < 0) {
185                     h7->Fill(par_i.GetInvMass(par_j));
186                     if (((par_i.GetIndex() == 0 && par_j.GetIndex()
187                          == 3) ||
188                         (par_i.GetIndex() == 3 && par_j.GetIndex()
189                          == 0)) ||
190                         ((par_i.GetIndex() == 1 && par_j.GetIndex()
191                          == 2) ||

```

```

187         (par_i.GetIndex() == 2 && par_j.GetIndex()
188             == 1))) {
189             h9->Fill(par_i.GetInvMass(par_j));
189         }
190     } else if (par_i.GetCharge() * par_j.GetCharge() >
191         0) {
192         h8->Fill(par_i.GetInvMass(par_j));
192         if (((par_i.GetIndex() == 0 && par_j.GetIndex()
193             == 2) ||
194             (par_i.GetIndex() == 2 && par_j.GetIndex()
195             == 0)) ||
196             ((par_i.GetIndex() == 1 && par_j.GetIndex()
197             == 3) ||
198             (par_i.GetIndex() == 3 && par_j.GetIndex()
199             == 1))) {
200             h10->Fill(par_i.GetInvMass(par_j));
201         }
202     }
203     });
204     ++n;
205     });
206
207     // Clearing the array at the end of every event
208     std::fill(eventParticles.begin(), eventParticles.end(),
209         Particle());
210 }
211
212 // Writing all on TFile
213 file->cd();
214 file->Write();
215 file->Close();
216 }
217
218 // Add main in order to compile from SHELL
219 int main() {
220     setStyle();
221
222     simulation();
223
224     return EXIT_SUCCESS;
225 }

```

Code 9: File di implementazione dell'analisi degli eventi.

```

1 // To compile in SHELL: "analysis.cpp 'root-config --cflags --libs
2   '"
3
4 #include <array>
5 #include <iomanip>
6 #include <iostream>
7
8 #include "TCanvas.h"

```

```

8  #include "TF1.h"
9  #include "TFile.h"
10 #include "TH1F.h"
11 #include "TH3F.h"
12 #include "TLatex.h"
13 #include "TLegend.h"
14 #include "TROOT.h"
15 #include "TStyle.h"
16
17 // Draw with Plain style in ROOT
18 void setStyle() {
19     gROOT->SetStyle("Default");
20     gStyle->SetOptStat(1122);
21     gStyle->SetOptFit(1111);
22     gStyle->SetPalette(57);
23     gStyle->SetOptTitle(0);
24 }
25
26 void analysis() {
27     using namespace std;
28
29     // Loading ROOT File
30     TFile* file1 = new TFile("simulation_collisions.root", "READ");
31
32     // Creating ROOT File
33     TFile* file2 = new TFile("analysis_collisions.root", "RECREATE")
34         ;
35
36     // Reading histograms in ROOT File
37     TH1F* h1 = (TH1F*)file1->Get("h1");
38     TH1F* h2 = (TH1F*)file1->Get("h2");
39     TH1F* h3 = (TH1F*)file1->Get("h3");
40     TH1F* h4 = (TH1F*)file1->Get("h4");
41     TH1F* h5 = (TH1F*)file1->Get("h5");
42     TH1F* h6 = (TH1F*)file1->Get("h6");
43     TH1F* h7 = (TH1F*)file1->Get("h7");
44     TH1F* h8 = (TH1F*)file1->Get("h8");
45     TH1F* h9 = (TH1F*)file1->Get("h9");
46     TH1F* h10 = (TH1F*)file1->Get("h10");
47     TH1F* h11 = (TH1F*)file1->Get("h11");
48     TH3F* h12 = (TH3F*)file1->Get("h12");
49
50     // Creating Canvas
51     TCanvas* c1 = new TCanvas("c1", "Particle Distribution", 200,
52         10, 900, 500);
53     c1->Divide(2, 2);
54
55     TCanvas* c2 = new TCanvas("c2", "Impulse", 200, 10, 900, 500);
56     c2->Divide(1, 2);
57
58     TCanvas* c3 = new TCanvas("c3", "Energy", 200, 10, 900, 500);

```

```

57 TCanvas* c4 = new TCanvas("c4", "Invariant Mass", 200, 10, 900,
58     500);
59
60 TCanvas* c5 =
61     new TCanvas("c5", "Invariant Mass Decayed Particles", 200,
62     10, 900, 500);
63 TCanvas* c6 = new TCanvas("c6", "1st Difference", 200, 10, 900,
64     500);
65 TCanvas* c7 = new TCanvas("c7", "2nd Difference", 200, 10, 900,
66     500);
67
68 // Creating functions for fitting
69 TF1* f1 = new TF1("funiform1", "pol0", 0., 2 * TMath::Pi());
70 TF1* f2 = new TF1("funiform2", "pol0", 0., TMath::Pi());
71 TF1* f3 = new TF1("fexpo", "expo", 0., 10.);
72 TF1* f4 = new TF1("fgaus1", "gaus", 0.3, 1.5);
73 TF1* f5 = new TF1("fgaus2", "gaus", 0.6, 1.2);
74 TF1* f6 = new TF1("fgaus3", "gaus", 0.6, 1.2);
75
76 // Creating histograms of differences using copy constructor
77 TH1F* hDiff1 = new TH1F(*h7);
78 TH1F* hDiff2 = new TH1F(*h9);
79
80 hDiff1->SetTitle(
81     "Difference between particles with concordant/discordant
82     charge");
83 hDiff2->SetTitle(
84     "Difference between concordant/discordant decayed particles"
85     );
86
87 hDiff1->Add(h7, h8, 1, -1);
88 hDiff2->Add(h9, h10, 1, -1);
89
90 // Creating array that contains all TH1F histograms
91 array<TH1F*, 13> histos{h1, h2, h3, h4, h5, h6, h7,
92     h8, h9, h10, h11, hDiff1, hDiff2};
93
94 // Setting parameters
95 double const kMass{0.89166};
96 double const kWidth{0.050};
97 f1->SetParameter(0, 1e4);
98 f2->SetParameter(0, 1e4);
99 f3->SetParameters(0, -1);
100 f4->SetParameter(1, kMass);
101 f4->SetParameter(2, kWidth);
102 f5->SetParameter(1, kMass);
103 f5->SetParameter(2, kWidth);
104 f6->SetParameter(1, kMass);
105 f6->SetParameter(2, kWidth);

```

```

102 // Setting parameters' names
103 f1->SetParNames("Constant");
104 f2->SetParNames("Constant");
105 f3->SetParNames("Constant", "Tau");
106 f4->SetParNames("Constant", "MassK*", "WidthK*");
107 f5->SetParNames("Constant", "MassK*", "WidthK*");
108 f6->SetParNames("Constant", "MassK*", "WidthK*");
109
110 // Cosmetics
111 f1->SetLineColor(kYellow);
112 f2->SetLineColor(kYellow);
113 f3->SetLineColor(kRed);
114 f4->SetLineColor(kRed);
115 f5->SetLineColor(kRed);
116 f6->SetLineColor(kRed);
117 f1->SetLineWidth(3);
118 f2->SetLineWidth(3);
119 f3->SetLineWidth(3);
120 f4->SetLineWidth(3);
121 f5->SetLineWidth(3);
122 f6->SetLineWidth(3);
123 f1->SetLineStyle(2);
124 f2->SetLineStyle(2);
125 f3->SetLineStyle(2);
126 f4->SetLineStyle(2);
127 f5->SetLineStyle(2);
128 f6->SetLineStyle(2);
129
130 // Fitting
131 h2->Fit("funiform1", "BQR");
132 h3->Fit("funiform2", "BQR");
133 h4->Fit("fexpo", "BQR");
134 h11->Fit("fgaus3", "BQR");
135 hDiff1->Fit("fgaus1", "BQR");
136 hDiff2->Fit("fgaus2", "BQR");
137
138 // Native array of particles' name
139 const char* label[7]{ "\u03C0+", "\u03C0-", "K+", "K-", "p+", "p-",
    "K*"};
140
141 // Drawing histograms on Canvas
142 for_each(histos.begin(), histos.end(), [&](TH1F* h) {
143     if (h == h1) {
144         c1->cd(1);
145         h->GetXaxis()->SetBinLabel(1, "#pi+");
146         h->GetXaxis()->SetBinLabel(2, "#pi-");
147         h->GetXaxis()->SetBinLabel(3, label[2]);
148         h->GetXaxis()->SetBinLabel(4, label[3]);
149         h->GetXaxis()->SetBinLabel(5, label[4]);
150         h->GetXaxis()->SetBinLabel(6, label[5]);
151         h->GetXaxis()->SetBinLabel(7, label[6]);

```

```

152     h->GetXaxis()->SetTitle("Particles");
153 } else if (h == h2) {
154     c1->cd(2);
155     h->GetXaxis()->SetTitle("#theta [rad]");
156     h->SetMaximum(12000);
157     h->SetMinimum(8000);
158 } else if (h == h3) {
159     c1->cd(3);
160     h->GetXaxis()->SetTitle("#phi [rad]");
161     h->SetMaximum(12000);
162     h->SetMinimum(8000);
163 } else if (h == h4) {
164     c2->cd(1);
165     h->GetXaxis()->SetTitle("Impulse [GeV/c]");
166 } else if (h == h5) {
167     c2->cd(2);
168     h->GetXaxis()->SetTitle("Impulse [GeV/c]");
169 } else if (h == h6) {
170     c3->cd();
171     h->GetXaxis()->SetTitle("Energy [GeV]");
172     h->SetAxisRange(0., 6., "X");
173 } else if (h == h7) {
174     c4->cd(1);
175     h->GetXaxis()->SetTitle("Mass [GeV/c^{2}]");
176 } else if (h == h8) {
177     c4->cd(2);
178     h->GetXaxis()->SetTitle("Mass [GeV/c^{2}]");
179 } else if (h == h9) {
180     c4->cd(3);
181     h->GetXaxis()->SetTitle("Mass [GeV/c^{2}]");
182 } else if (h == h10) {
183     c4->cd(4);
184     h->GetXaxis()->SetTitle("Mass [GeV/c^{2}]");
185 } else if (h == h11) {
186     c5->cd();
187     h->GetXaxis()->SetTitle("Mass [GeV/c^{2}]");
188     h->SetAxisRange(0.5, 1.5, "X");
189 } else if (h == hDiff1) {
190     c6->cd();
191     h->GetXaxis()->SetTitle("Mass [GeV/c^{2}]");
192     h->SetAxisRange(0., 2.5, "X");
193 } else if (h == hDiff2) {
194     c7->cd();
195     h->GetXaxis()->SetTitle("Mass [GeV/c^{2}]");
196     h->SetAxisRange(0., 2.5, "X");
197 }
198
199 // Cosmetics
200 h->SetMarkerStyle(20);
201 h->SetMarkerSize(0.5);
202 h->SetLineColor(kBlue + 4);

```



```

203     h->SetFillColor(kBlue - 2);
204     h->GetYaxis()->SetTitleOffset(1.2);
205     h->GetXaxis()->SetTitleSize(0.04);
206     h->GetYaxis()->SetTitleSize(0.04);
207     h->GetYaxis()->SetTitle("Entries");
208     gStyle->SetOptStat(1002200);
209     gStyle->SetOptFit(1111);
210     h->DrawCopy("H");
211     h->DrawCopy("E,P,SAME");
212 });
213
214 // Drawing 3D angle distribution
215 c1->cd(4);
216 h12->SetMarkerColor(kBlue + 4);
217 h12->GetXaxis()->SetTitleOffset(1.5);
218 h12->GetYaxis()->SetTitleOffset(1.5);
219 h12->GetZaxis()->SetTitleOffset(1.2);
220 h12->GetXaxis()->SetTitleSize(0.04);
221 h12->GetYaxis()->SetTitleSize(0.04);
222 h12->GetZaxis()->SetTitleSize(0.04);
223 h12->GetXaxis()->SetTitle("x-density");
224 h12->GetYaxis()->SetTitle("y-density");
225 h12->GetZaxis()->SetTitle("z-density");
226 h12->DrawCopy();
227
228 // Printing name and entries for all histograms
229 for_each(histos.begin(), histos.end(), [&](TH1F* h) {
230     cout << left << setw(10) << "\nName:" << h->GetTitle() << left
231         << setw(10)
232         << "\nEntries:" << h->Integral() << '\n';
233
234     if (h == h1) {
235         for (int i{1}; i != h->GetNbinsX() + 1; ++i) {
236             cout << "\n\u0025 of " << label[i - 1] << left << setw(10)
237                 << " generated: " << (h->GetBinContent(i) / h->
238                     GetEntries()) * 100.
239                 << "\u0025\n"
240                 << label[i - 1] << " in " << i << left << setw(12)
241                 << " bin:" << h->GetBinContent(i) << " \u00b1 "
242                 << h->GetBinError(i) << '\n';
243         }
244     }
245 });
246
247 // Adding legend
248 TLegend* leg1 = new TLegend(.1, .7, .3, .9);
249 TLegend* leg2 = new TLegend(.1, .7, .3, .9);
250 TLegend* leg3 = new TLegend(.7, .3458, .9, .536);
251 TLegend* leg4 = new TLegend(.1, .7, .3, .9);
252 TLegend* leg5 = new TLegend(.1, .7, .3, .9);
253 TLegend* leg6 = new TLegend(.1, .7, .3, .9);

```

```

252
253 leg1->SetFillColor(0);
254 leg1->AddEntry(h2, "#theta distribution");
255 leg1->AddEntry(f1, "Uniform distribution");
256 c1->cd(2);
257 leg1->Draw("SAME");
258 leg2->SetFillColor(0);
259 leg2->AddEntry(h3, "#phi distribution");
260 leg2->AddEntry(f2, "Uniform distribution");
261 c1->cd(3);
262
263 leg2->Draw("SAME");
264 leg3->SetFillColor(0);
265 leg3->AddEntry(h4, "Impulse distribution");
266 leg3->AddEntry(f3, "Exponential distribution");
267 c2->cd(1);
268 leg3->Draw("SAME");
269 leg4->SetFillColor(0);
270 leg4->AddEntry(h11, "Benchmark distribution");
271 leg4->AddEntry(f4, "Gaussian distribution");
272 c5->cd();
273 leg4->Draw("SAME");
274 leg5->SetFillColor(0);
275 leg5->AddEntry(hDiff1, "Difference_1 distribution");
276 leg5->AddEntry(f5, "Gaussian distribution");
277 c6->cd();
278 leg5->Draw("SAME");
279 leg6->SetFillColor(0);
280 leg6->AddEntry(hDiff2, "Difference_2 distribution");
281 leg6->AddEntry(f6, "Gaussian distribution");
282 c7->cd();
283 leg6->Draw("SAME");
284
285 // Printing datas in SHELL
286
287 // Azimuthal angle
288 cout << "\nAzimuthal angle fit:" << '\n'
289 << f1->GetParName(0) << left << setw(29) << ':' << f1->
    GetParameter(0)
290 << " \u00b1 " << f1->GetParError(0) << left << setw(39)
291 << "\n\u03c7^2/NDF azimuthal angle fit:"
292 << f1->GetChisquare() / f1->GetNDF() << left << setw(39)
293 << "\n\u03c7^2 probability azimuthal angle fit:" << f1->
    GetProb()
294 << '\n';
295
296 // Polar angle
297 cout << "\nPolar angle fit:" << '\n'
298 << f2->GetParName(0) << left << setw(25) << ':' << f2->
    GetParameter(0)
299 << " \u00b1 " << f2->GetParError(0) << left << setw(35)

```

```

300     << "\n\u03c7^2/NDF polar angle fit:" << f2->GetChisquare()
      / f2->GetNDF()
301     << left << setw(35)
302     << "\n\u03c7^2 probability polar angle fit:" << f2->GetProb
      () << '\n';
303
304 // 3D impulse
305 cout << "\n3D impulse fit:" << '\n'
306     << f3->GetParName(0) << left << setw(24) << ':' << f3->
      GetParameter(0)
307     << " \u00b1 " << f3->GetParError(0) << '\n'
308     << f3->GetParName(1) << left << setw(29) << ':' << f3->
      GetParameter(1)
309     << " \u00b1 " << f3->GetParError(1) << left << setw(34)
310     << "\n\u03c7^2/NDF 3D impulse fit:" << f3->GetChisquare() /
      f3->GetNDF()
311     << left << setw(34)
312     << "\n\u03c7^2 probability 3d impulse fit:" << f3->GetProb
      () << '\n';
313
314 // K* 1st difference
315 cout << '\n'
316     << f4->GetParName(1) << left << setw(30) << " =" << f4->
      GetParameter(1)
317     << " \u00b1 " << f4->GetParError(1) << '\n'
318     << f4->GetParName(2) << left << setw(29) << " =" << f4->
      GetParameter(2)
319     << " \u00b1 " << f4->GetParError(2) << '\n'
320     << f4->GetParName(0) << left << setw(28) << " =" << f4->
      GetParameter(0)
321     << " \u00b1 " << f4->GetParError(0) << left << setw(38)
322     << "\n\u03c7^2/NDF 1st difference fit:"
323     << f4->GetChisquare() / f4->GetNDF() << left << setw(38)
324     << "\n\u03c7^2 probability 1st difference fit:" << f4->
      GetProb() << '\n';
325
326 // K* 2nd difference
327 cout << '\n'
328     << f5->GetParName(1) << left << setw(30) << " =" << f5->
      GetParameter(1)
329     << " \u00b1 " << f5->GetParError(1) << '\n'
330     << f5->GetParName(2) << left << setw(29) << " =" << f5->
      GetParameter(2)
331     << " \u00b1 " << f5->GetParError(2) << '\n'
332     << f5->GetParName(0) << left << setw(28) << " =" << f5->
      GetParameter(0)
333     << " \u00b1 " << f5->GetParError(0) << left << setw(38)
334     << "\n\u03c7^2/NDF 2st difference fit:"
335     << f5->GetChisquare() / f5->GetNDF() << left << setw(38)
336     << "\n\u03c7^2 probability 2nd difference fit:" << f5->
      GetProb()

```

```

337         << "\n\n";
338
339     // Writing on new TFile
340     file2->cd();
341     c1->Write();
342     c2->Write();
343     c3->Write();
344     c4->Write();
345     c5->Write();
346     c6->Write();
347     c7->Write();
348
349     // Saving Canvas in .pdf, .png and .jpg formats
350     c1->Print("particleDistribution.pdf");
351     c2->Print("impulse.pdf");
352     c3->Print("energy.pdf");
353     c4->Print("invariantMass.pdf");
354     c5->Print("invariantMassDecay.pdf");
355     c6->Print("decayParticleData1.pdf");
356     c7->Print("decayParticleData1.pdf");
357     c1->Print("particleDistribution.png");
358     c2->Print("impulse.png");
359     c3->Print("energy.png");
360     c4->Print("invariantMass.png");
361     c5->Print("invariantMassDecay.png");
362     c6->Print("decayParticleData1.png");
363     c7->Print("decayParticleData1.png");
364     c1->Print("particleDistribution.jpg");
365     c2->Print("impulse.jpg");
366     c3->Print("energy.jpg");
367     c4->Print("invariantMass.jpg");
368     c5->Print("invariantMassDecay.jpg");
369     c6->Print("decayParticleData1.jpg");
370     c7->Print("decayParticleData1.jpg");
371
372     file2->Close();
373     file1->Close();
374 }
375
376 // Add main in order to compile from SHELL
377 int main() {
378     analysis();
379
380     return EXIT_SUCCESS;
381 }

```